

# YARIM WENNER GÖRÜNÜR ÖZDİRENÇ VERİLERİNE TERS EVRİŞİM UYGULAMASI

## Application of Deconvolution to Half Wenner Apparent Resistivity Data

Mustafa AKGÜN\*, Zafer AKÇİĞ\* ve Rahmi PINAR\*

### ÖZET

Çalışmanın amacı, ters evrişim (dekonvolüsyon) işleminin jeofiziğin diğer bir dalı olan elektrik prospeksiyonda, yanal kaydırma ölçümlerine uygulanabilirliğini araştırmaktır.

Bu amaç çerçevesinde ilk aşamada yarım Wenner kaydırma sisteminde oluşturulan teorik dayk anomalisine değişik genlikli gürültü eklenmiş, daha sonra ise bu gürültülü dayk anomalisine dalga biçimi ters evrişim uygulanmıştır. İkinci aşamada ise aynı modeller üzerinde ön kestirimli ters evrişim uygulaması gerçekleştirilmiştir.

Uygulamalar sonucunda, gürültünün genliği azaldıkça ve süzgeç boyu artıkça, aranan sinyalin belirlenmesinde dalga biçimi ters evrişimin başarılı sonuçlar verdiği görülmüştür. Ön kestirimli ters evrişim uygulamalarında ise sinyalin özilişki grafiğinden periyodik bileşenler seçilmediğinden sonuç alınamamıştır.

### ABSTRACT

The possible applications of the deconvolution process to direct current profiling measurements have been investigated.

Some modulated noise has been added to the theoretical dike data for the Half Wenner profiling measurements to examine the output of the wave-shaping deconvolution filter. Predictive deconvolution has been tested by using the same data set.

Evidence suggest that analyzing the wave-shaping deconvolution is suitable in the case of decreasing of the amplitudes of noise and increase in the length of filter. However, predictive deconvolution are not successful because of the fact of the difficulty in distinguishing the periodic components from the auto-correlation function of the signal.

### GİRİŞ

Bilindiği gibi ters evrişim, sismikte önemli bir sinyal belirginleştirme işlemidir. Ters evrişim işlemi ile ilgili yöntemlerin geliştirilmesinde ve sismik prospeksiyonda uygulanmasında Levinson (1949), Robinson ve Treitel (1967), Peacock ve Treitel (1969), Treitel ve Lines (1982) gibi araştırmacıların yaptığı çalışmalar büyük önem taşır. Ters evrişim yöntemi günümüzde, sadece sismik veri işlem yön-

temi olmaktan çıkarak jeofiziğin diğer dallarına da uygulanmaya başlanmıştır (Çelik 1982, Say 1990, Tsokas ve Papazachos 1991).

Bu çalışmada ters evrişim, elektrik yönteminde yarım-Wenner dizilimi ile elde edilmiş öz direnç kaydırma ölçümlerine uygulanmıştır. Bu amaçla Yarım - Wenner dizilimi için hesaplanan teorik dayk anomalisine, değişik genlikte sinüs gürültüsü eklenerek oluşturulan veriye önce

\* DEÜ Müh. Fak. jeofizik Müh. Böl. Bornova-İZMİR

dalga biçimi ters evrişim ve daha sonrada ön kestirimli ters evrişim işlemi uygulanarak ulaşılan sonuçlar tartışılmıştır. Ayrıca, yanyana iki dayk modeli için elde edilen toplam anomalilere de benzer işlemler uygulanmış ve elde edilen sonuçlar irdelenmiştir.

### TERS EVRİŞİM (DEKONVOLÜSYON)

Ters evrişim, sinyale önceden uygulanmış olan evrişim işlemi etkilerini ortadan kaldırmak için uygulanan bir veri işlem yöntemidir. Jeofizikte kayıt edilen tüm sinyaller orjinal sinyal olmayıp evrişim sonucu değişime uğramış sinyallerdir. Örneğin sismik prospeksiyonda patlatma sonucu oluşan dalgacık yerin ve kayıt aletlerinin etkisi nedeniyle aynı biçimde kaydedilmez (Şekil 1) ve bu olay aşağıdaki bağıntı ile tanımlanır.

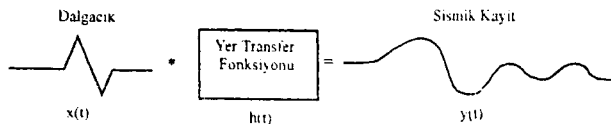
$$y_t = x_t * h_t \quad (1)$$

Bu bağlantıda  $x_t$  giriş sinyali,  $y_t$  çıkış sinyali,  $h_t$  yer etkisi olarak tanımlanır. (1) bağıntısından görüldüğü gibi giriş ve çıkış sinyali arasında yer etkisi nedeni ile bir değişim olmaktadır. Bu değişim evrişim işleminden kaynaklanmaktadır. Ters evrişim işlemi de bu evrişim etkisini gidermek için kullanılır. Kısaca ters evrişim işlemi çıkış sinyalinden yola çıkarak giriş dalgacığını bulma işlemi olarak tanımlanabilir.

### Dalga Biçimi Ters Evrişim

Bu tür ters süzgeç düzenlenirken ulaşılmaması gereken nokta istenen çıkış ( $g_t$ ) ile gerçek çıkış ( $y_t$ ) arasındaki farkın en küçük olmasıdır. Diğer bir deyişle süzgeç katsayıları ( $h_t$ ) öyle seçilmelidir ki hata enerjisi ( $\epsilon$ ) en küçük olsun (Şekil 2). Bu işlem de

$$\epsilon^2 = \sum_{t=0}^{m+n} [g_t - y_t]^2 \Rightarrow \text{en küçük} \quad (2)$$



Şekil 1. Sinyal giriş-çıkışı.

Fig. 1. Signal input-output.

yaklaşımı ile sağlanır. Bu bağıntıda,

$$y_t = x_t * h_t = \sum_{s=0}^m h_s x_{t-s} \quad (3)$$

eşitliği yerine konursa

$$\epsilon^2 = \sum_{t=0}^{m+n} \left( g_t - \sum_{s=0}^m h_s x_{t-s} \right)^2 \quad (4)$$

elde edilir. (4) bağıntısının süzgeç katsayılarına ( $h_0, h_1, h_2, h_3, \dots, h_m$ ) göre kısmi türevleri alınıp sıfıra eşitlenirse  $\epsilon$  en küçük olur ve bu durum

$$\frac{\partial \epsilon}{\partial h_j} = \sum_{t=0}^{m+n} 2 \left( g_t - \sum_{s=0}^m h_s x_{t-s} \right) (-x_{t-s}) = 0$$

ile ifade edilir. Buradan

$$-\sum_{t=0}^{m+n} g_t x_{t-j} + \sum_{t=0}^{m+n} \left( \sum_{s=0}^m h_s x_{t-s} \right) x_{t-j} = 0$$

veya

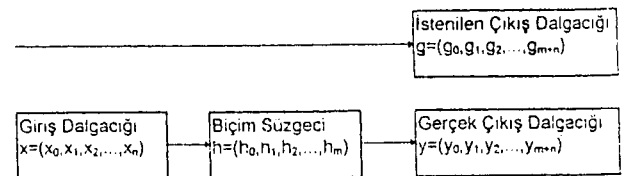
$$\sum_{s=0}^m h_s \sum_{t=0}^{m+n} x_{t-s} x_{t-j} = \sum_{t=0}^{m+n} g_t x_{t-j} \quad j = 0, 1, 2, 3, \dots, m \quad (5)$$

elde edilir. (5) bağıntısındaki,

$$\sum_{t=0}^{m+n} x_{t-s} x_{t-j} = a_{j-s} \quad (6)$$

dır ki bu da giriş verisi  $x_t$  nin ( $j-s$ ) kayması için özillişki fonksiyonudur. İstenen çıkış ile girişin çapraz ilişkisi ise

$$\sum_{t=0}^{m+n} g_t x_{t-j} = c_j \quad j = 0, 1, 2, 3, \dots, m \quad (7)$$



Şekil 2. Dalga biçimi ters evrişim.

Fig. 2. Wave shaping deconvolution.

ile tanımlanır. (6) ve (7), (5) te yerine konursa,

$$\sum_{s=0}^m h_s a_{j-s} = c_j \quad (8)$$

elde edilir. Bu bağıntı ayrıık veriler için Wiener-Hopf bağıntısı olarak isimlendirilir (Levinson 1949, Robinson 1967 a). Burada  $A_{j-s}$  ve  $c_j$  bilindiğinden aranan sadece  $h_s$  süzgeç katsayılarıdır. (8) açık olarak

$$\begin{aligned} h_0 a_0 + h_1 a_{-1} + h_2 a_{-2} + \dots + h_m a_{-m} &= c_0 \\ h_0 a_1 + h_1 a_0 + h_2 a_{-1} + \dots + h_m a_{1-m} &= c_1 \\ \dots & \\ \dots & \\ h_0 a_m + h_1 a_{m-1} + h_2 a_{m-2} + \dots + h_m a_0 &= c_m \end{aligned} \quad (9)$$

şeklinde yazılabilir. (9) normal (dik) denklemler olarak adlandırılır. Özilişki fonksiyonunun çift olma özelliği,

$$a_i = a_{-i} \quad (10)$$

gözönünde bulundurularak (9) düzey normunda yazılırsa,

$$\begin{pmatrix} a_0 & a_1 & a_2 & \dots & a_m \\ a_1 & a_0 & a_1 & \dots & a_{m-1} \\ a_2 & a_1 & a_0 & \dots & a_{m-2} \\ \dots & \dots & \dots & \dots & \dots \\ \dots & \dots & \dots & \dots & \dots \\ a_m & a_{m-1} & a_{m-2} & \dots & a_0 \end{pmatrix} \begin{pmatrix} h_0 \\ h_1 \\ h_2 \\ \dots \\ \dots \\ h_m \end{pmatrix} = \begin{pmatrix} c_0 \\ c_1 \\ c_2 \\ \dots \\ \dots \\ c_m \end{pmatrix} \quad (11)$$

elde edilir. Normal denklem sistemlerinin çözümü ise bizi aranan süzgeç katsayılarına ulaştırır. (11) eşitliğinin sol tarafındaki bakışık kare düzey Toeplitz dizeyi olarak adlandırılır. Bu dizeyin çözümüne ilişkin ayrıntılar Levinson (1949), Wiggins ve Robinson (1965) de bilgisayar çözümüne yönelik programlar ise Robinson (1967 b) de verilmiştir.

Elde edilen süzgeç katsayıları ile veri evriştirildiğinde ise istenen çıktıya uyum sağlayan gerçek sinyal ( $y_t$ ) elde edilir. Bu işlem dalga biçimi ters evrişim olarak isimlendirilir (Şekil 2).

Kuramdan da bilindiği üzere ters evrişim uygulamasında, giriş verisine  $[x(t)]$  bağlı olarak çıkış geciktirilerek daha başarılı sonuçlar elde edilebilir. Bunun fiziksel anlamı

ise süzgecin giriş verisini daha iyi görmesini sağlamaktır. Girişin karışık veya en büyük gecikmeli olması durumunda ise çıkış ta buna uygun olarak geciktirilir (Şekil 3). Uygulamada en uygun geçikme değeri ve buna bağlı olarak uygun süzgeci saptayabilmek için "sıfırdan süzgeç boyu  $m+1$  gecikmelerinde hatalar ( $I_{\min}$ ) bulunur. En küçük hatayı veren gecikme ise en iyi gecikme değeri olarak seçilir (Özdemir 1980).

Bu açıklamalar ise bizi optimum süzgecin seçiminde temel dayanak olan süzgeç verimi (performans) kavramına ulaştırır. Uygulamada P ile gösterilen verim

$$0 \leq P \leq 1 \quad (12)$$

şartını sağlar.  $P=0$  durumunda istenen çıkış  $g_t$  ile gerçek çıkış  $y_t$  arasında bir uyum yoktur. Eğer  $P=1$  ise istenen çıkış ile gerçek çıkış arasında tam bir uyum vardır. Süzgeç performansına ilişkin ayrıntılı bilgi için Robinson ve Treitel (1967) den yararlanabilir.

Uygulamada süzgeç boyu seçiminde; gecikmeye bağlı olarak süzgeç verimi veya deneme-sınama yönetimi kullanılabilir. Bu çalışmada ise deneme-sınama yönetimi kullanılmıştır.

### Önkestirimli Ters Evrişim

Önkestirimli ters evrişim bir zaman veya uzay dizisinin geçmişteki değerlerinden yararlanarak aynı dizinin gelecekteki değerlerinin kestirilmesi işlemidir. Bu aynı zamanda bir ekstrapolasyon işlemidir. Önkestirmeli ters evrişim işlemi veride dönemi bir olayın sürekli olarak yer alması durumunda kullanılır.

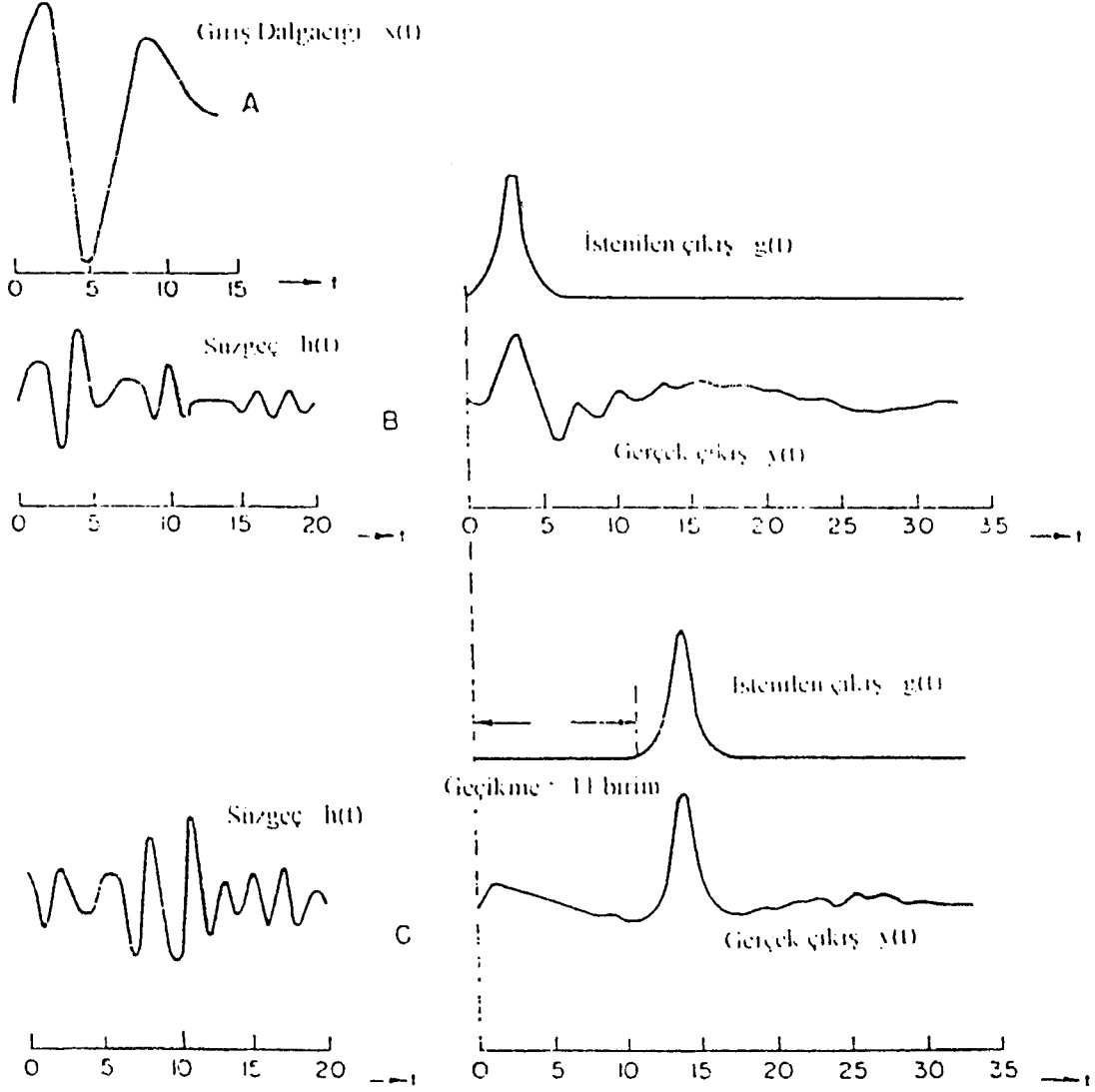
Bu ters evrişim işlemi, dalga biçimi ters evrişime benzer şekilde uygulanır. İkisi arasındaki tek fark ise süzgeç katsayılarının elde edilmesinde kullanılır. (8) ve (11) bağıntılarının, sağ tarafında çapraz ilişki yerine özilişki fonksiyonunun kullanılmasıdır (Şekil 2).

Özilişki fonksiyonunun kullanılabilmesi için ise aşağıdaki koşulların sağlanması gereklidir.

1- Sinyalin özilişki fonksiyonunun, dalgacığın özilişki fonksiyonuna eşit olması.

2-  $\tau=0$  (sıfır kaymada) civarında sinyalin özilişki fonksiyonu dalgacığın özilişki fonksiyonunu temsil etmelidir.

$\tilde{x}_{t+L}$  önceden kestirilmiş iz olmak üzere,



Şekil 3. (A) Giriş dalgacığı, (B) Sıfır gecikmeli istenen ve gerçek çıkış, (c) 11 birim gecikmeli istenen ve gerçek çıkış.

Fig. 3. (A) Input wavelet, (B) Desired and actual output with zero delay, (c) Desired and actual output delayed by 11 time units.

$$\bar{x}_{t+L} \sum_{k=0}^N = h_k x_{t-k} \quad (13)$$

yazılabilir. Burada öyle bir  $h_k$  süzgeci tanımlanmalı ki bu süzgeç ile  $x_t$  sinyalinin evrişimi bizi kestirilmiş sinyal  $x_{t+L}$  ye ulaştırsın. Böylesine bir işlece ise,

$$\sum_{t=t_1}^{t_2} (x_{t+L} - \bar{x}_{t+L})^2 = \epsilon^2 = \text{en küçük} \quad (14)$$

$$\sum_{t=t_1}^{t_2} (x_{t+L} - \sum_{k=0}^N h_k x_{t-k})^2 = \epsilon^2 = \text{en küçük} \quad (15)$$

bağıntıları yardımıyla ulaşılır. (15) bağıntısının  $h_k$  ya göre türevi alınıp sifıra eşitlenirse en küçük olur ve

$$\frac{\partial \epsilon}{\partial h_m} = \sum_{t=t_1}^{t_2} 2 (x_{t+L} - \sum_{k=0}^N h_k x_{t-k}) (-x_{t-m}) = 0 \quad (16)$$

bağıntısı elde edilir. (16) bağıntısından hareketle

$$-\sum_{t=t_1}^{t_2} x_{t+L} x_{t-m} + \sum_{t=t_1}^{t_2} \left( \sum_{k=0}^N h_k x_{t-k} \right) x_{t-m} = 0$$

(17)

$$\sum_{k=0}^N h_k \sum_{t=t_1}^{t_2} x_{t-k} x_{t-m} = \sum_{t=t_1}^{t_2} x_{t+L} x_{t-m}$$

ifadeleri bulunur. (17) bağıntısı incelendiğinde

$$\sum_{t=t_1}^{t_2} x_{t-k} x_{t-m} = a_{k-m} \quad (18)$$

$$\sum_{t=t_1}^{t_2} x_{t+L} x_{t-m} = a_{L+m} \quad (19)$$

bağıntıları elde edilir. (18) ve (19) bağıntılarının herikiside özilişki fonksiyonu olup (17) bağıntısında kullanıldığında

$$a_{L+m} - \sum_{k=0}^N h_k a_{k-m} = 0 \quad m = 0, 1, 2, \dots, N \quad (20)$$

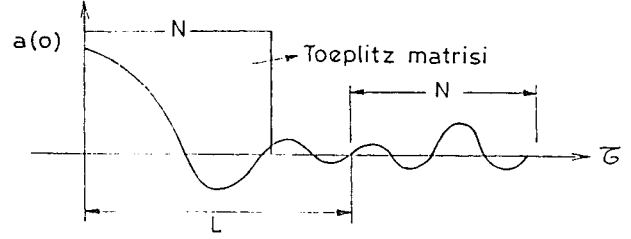
bulunur. (20) dizey normunda,

$$\begin{pmatrix} a_0 & a_1 & a_2 & \dots & a_N \\ a_1 & a_0 & a_1 & \dots & a_{N-1} \\ a_2 & a_1 & a_0 & \dots & a_{N-2} \\ \dots & \dots & \dots & \dots & \dots \\ a_N & a_{N-1} & a_{N-2} & \dots & a_0 \end{pmatrix} \begin{pmatrix} h_0 \\ h_1 \\ h_2 \\ \dots \\ h_N \end{pmatrix} = \begin{pmatrix} a_1 \\ a_{L+1} \\ a_{L+2} \\ \dots \\ a_{L+N} \end{pmatrix} \quad (21)$$

bağıntısıyla verilir. (21) ile verilen dizey denklemlerinin çözümü ise bizi aranan büzgeç katsayılarına ulaştırır.

Uygulamada önkestirimli ters evrişim aşağıdaki izleneye uyarınca yapılır.

1. Öngörülen sinyalin önce özilişki fonksiyonu bulunur.
2. Özilişki fonksiyonunun boyu bir pencere fonksiyonu (N boyunda) ile sınırlanır (Şekil 4).
3. Bu fonksiyondan yararlanılarak (21) in sol tarafında yer alan Toeplitz dizeyi oluşturulur.



Şekil 4. N ve L nin konumları.

Fig. 4. Positions N and L.

4. Özilişki fonksiyonunda L mesafesi saptanarak L+N boyundaki özilişki değerleri elde edilir (Şekil 4).

5. Elde edilen bu değerlerle (21) eşitliğinin sağ tarafındaki yöney oluşturulur.

6. Levinson algoritması ile (21) çözümlenerek aranan  $h_k$  lar bulunur.

Bu çözümleme sonucu sinyal içinde aranan tekrarlı olaylar bulunmuş olur. Tekrarlı olaylar giriş sinyalinden çıkarıldığında istenen sinyal elde edilir. Bu yolla elde edilen iz, önkestirme hata izi (prediction error) olarak isimlendirilir. Bu iz aslında ters evrişim uygulanmış izdir. Eğer (21) den saptanan  $h_k$  lar ters evrişim süzgeç işleci olarak kullanılmak istenirse; saptanmış katsayılar eksi ile çarpılıp giriş sinyali ile evriştirilmelidir.

## UYGULAMALAR

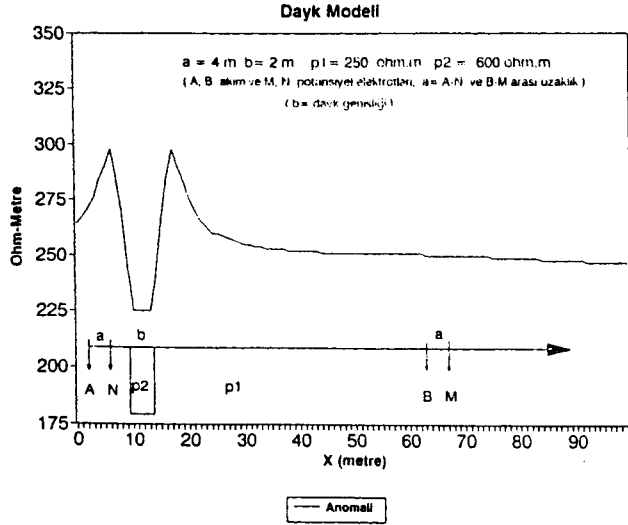
### Dalga Biçimi Ters Evrişimi Uygulamaları

Çalışmamızda konu edilen dalga biçimi ters evrişim uygulamaları aşağıdaki izleneye gerçekleştirilmiştir.

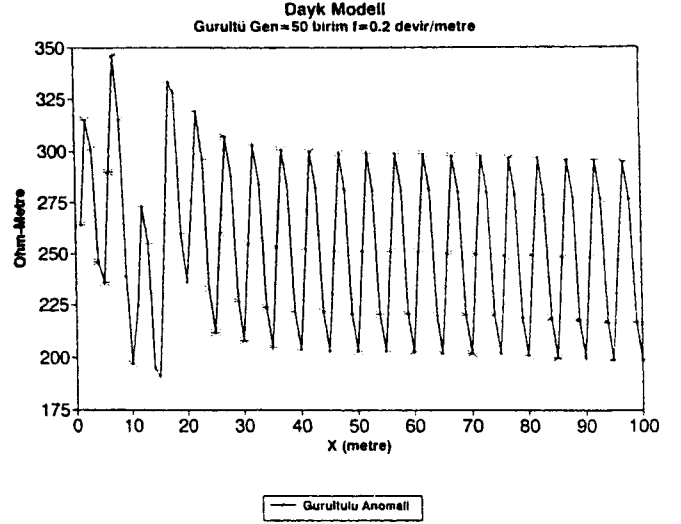
A- Yarım Wenner kaydırma issteminde kuramsal dayk anomalisi Telford ve diğ. (1980) yararlanılarak oluşturulmuştur (Şekil 5).

B- Oluşturulan bu anomalieye,  $A \cdot \sin(2\pi f_0 t)$  bağıntısı ile tanımlanan sinüs gürültüsü eklenmiştir ( $A=50$  ve  $f_0=0.2$ ). Şekil 6'da verilen gürültülü anomalieye de farklı süzgeç boyları kullanılarak dalga biçimi ters evrişim işlemi uygulanmıştır.

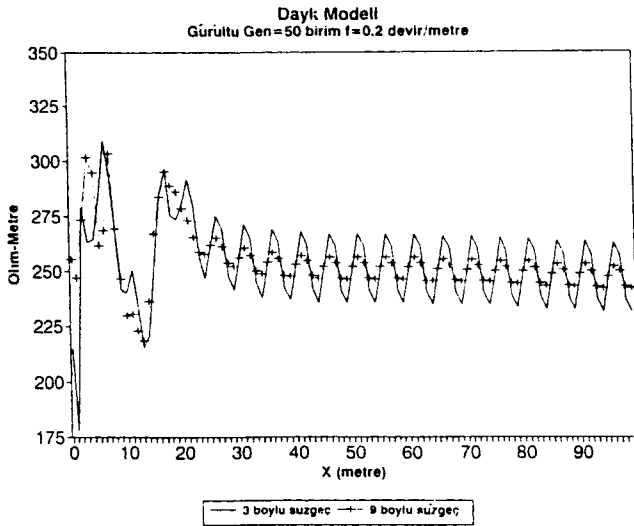
Şekiller incelendiğinde; süzgeç boyu 3 ten 9 a ulaştığında aranan dayk anomalisinin belirginleşmeye başladığı (Şekil 7) ve süzgeç boyu arttıkça da (örneğin 15 ve 25 boy) istenen çıktı ile gerçek çıktı arasındaki hata enerjisinin en küçüğe yaklaştığı gözlenmiştir (Şekil 8). Bu durumda süzgeç boyunun belirlenmesinde; veri adedine bağlı olarak bilgisayar işlem ve kapasitesi ile evrişimden kaynaklanacak sorunlar gözönünde bulundurulmalıdır.



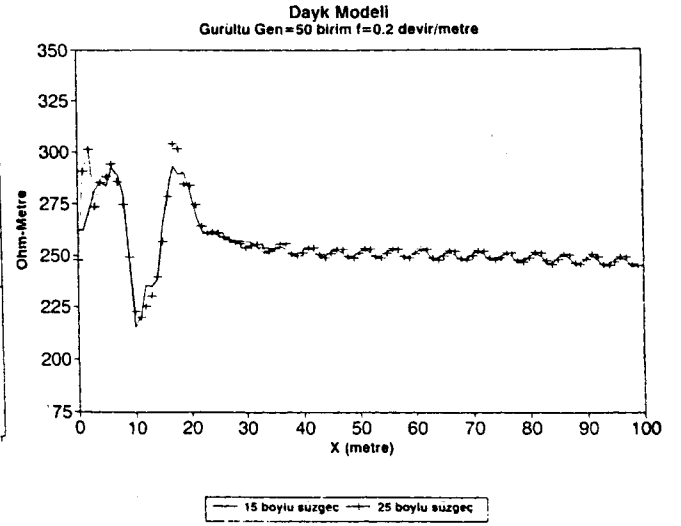
Şekil 5. Yarım-Wenner açılımı dayk anomalisi  
Fig. 5. Dike anomaly for Half-Wenner configuration.



Şekil 6. Gürültülü dayk serisi.  
Fig. 6. Noise added data.



Şekil 7. Dalga biçimi ters evrişim uygulanmış dayk verisi (süzgeç boyu=3 ve 9).  
Fig. 7. Wave shaping deconvolution applied to the dike data (filter length=3 and 9).

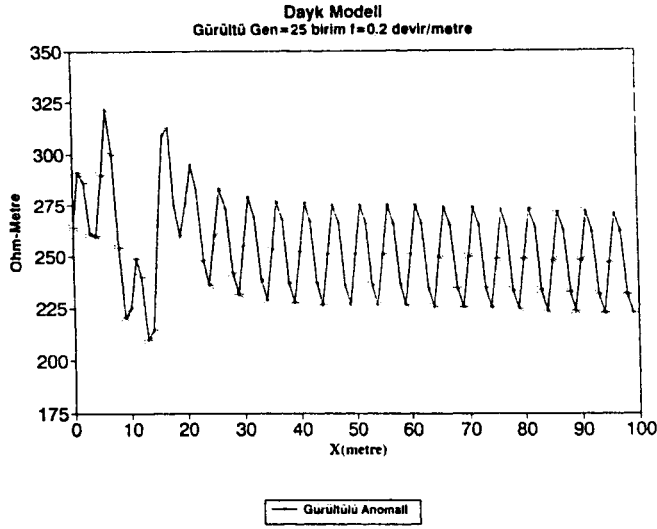


Şekil 8. Dalga biçimi ters evrişim uygulanmış dayk verisi (süzgeç boyu=15 ve 25).  
Fig. 8. Wave shaping deconvolution applied to the dike data (filter length=15 and 25).

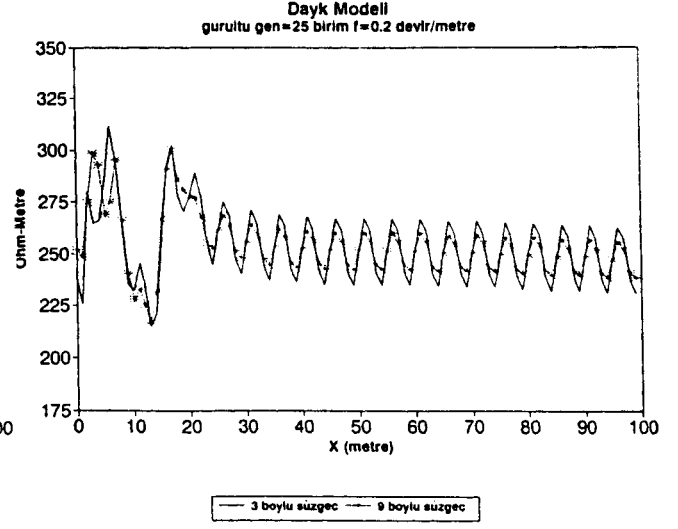
C- Bu aşamada gürültü genişliğindeki değişimin, dalga biçimi ters evrişimdeki etkisini görebilmek için gürültünün genliği 25 birim alınmıştır. Bu şekilde oluşturulan gürültülü dayk anomalisi Şekil 9 da görülmektedir. Bu adımda B deki süzgeç boyu ile ilgili yaklaşımlar kullanılarak dalga biçimi ters evrişim uygulandığında dayk anomalisinin 3

boyulu süzgeçten itibaren belirginleşmeye başladığı gözlenmiştir (Şekil 10). Böylece gürültü genliği azaldıkça ayrımlılığın daha kısa süzgeç boylarından itibaren başladığı saptanmıştır.

D- ikinci adımda Şekil 5 de verilen daykın yeri kaydırılarak elde edilen kuramsal veri üzerine yine 50 birim

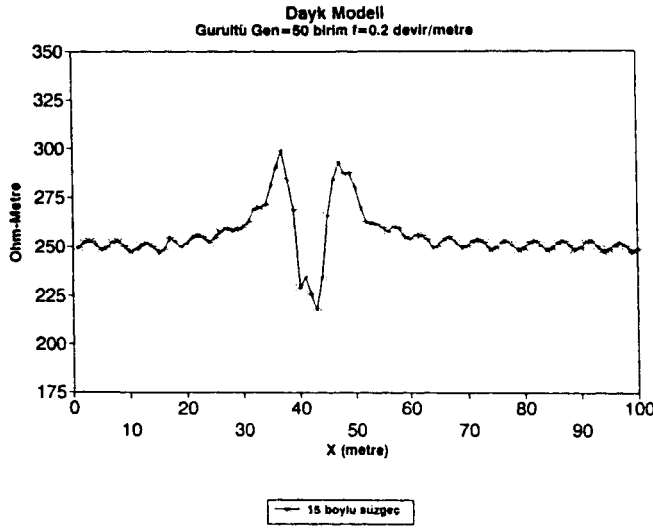


Şekil 9. Gürültülü yarım Wenner dayk verisi.  
Fig. 9. Noise added Half-Wenner profiling data.



Şekil 10. Dalga biçimi ters evrişim uygulanmış dayk verisi (süzgeç boyu=3 ve 9).

Fig. 10. Wave shaping deconvolution applied to the dike data (filter length=3 and 9).

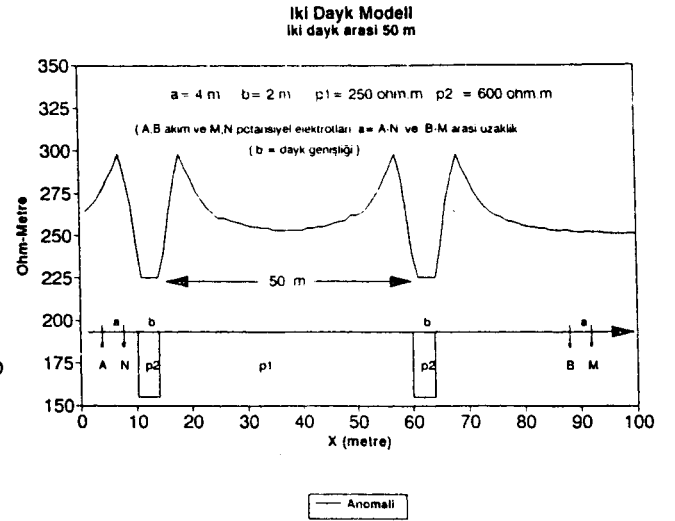


Şekil 11. Dalga biçimi ters evrişim uygulanmış dayk verisi (süzgeç boyu=15).

Fig. 11. Wave shaping deconvolution applied to the dike data (filter length=15).

genlikli sinüs gürültüsü eklenerek elde edilen gürültülü veri üzerine ters evrişim uygulandığında, dayk anomalisinin ayrımlılığı sağlanmıştır (Şekil 11).

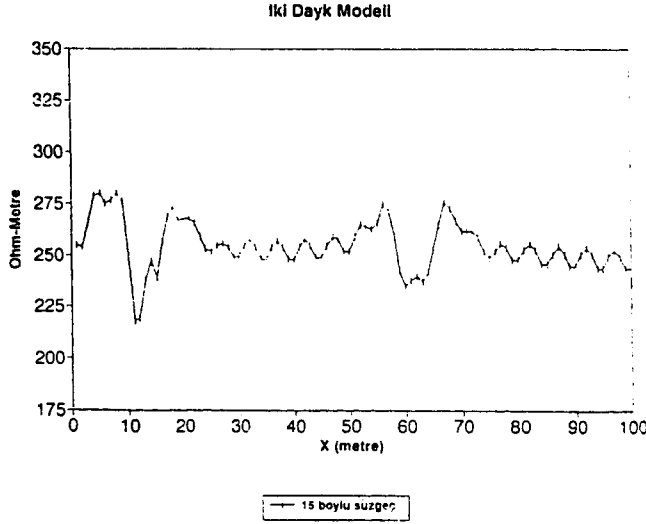
E- Dalga biçimi ters evrişimin son uygulamasında birbirini takip eden iki daykın oluşturduğu anomali (dayklar arası mesafe 50 m alınarak) hesaplanmıştır. Bu anomaliye 50 birim genlikli sinüs gürültüsü eklenerek dalga biçimi



Şekil 12. Gürültülü iki dayk verisi.

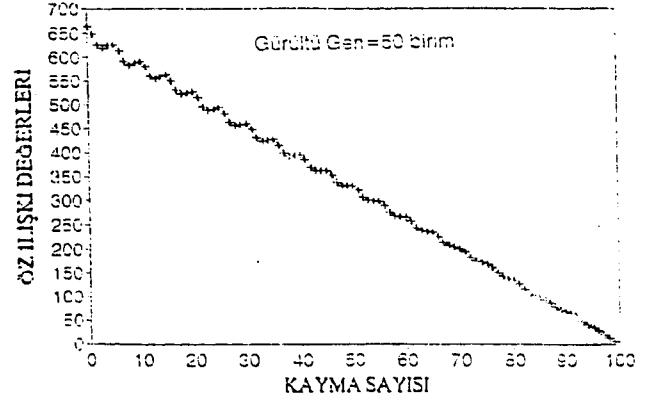
Fig. 12. Noise added two dikes data.

ters evrişim uygulandığında (Şekil 12 ve 13), yine dayk anomalilerinin ayrımlılığı sağlanmıştır. Ancak çoklu yapılarla yapılan uygulamalarda dikkat edilmesi gereken nokta yapılar arası uzaklıktır. Yapıların birbirine çok yakın olması durumunda ölçü sistemine ve kaydırma aralığına bağlı olarak anomaliler birbirine karışacaktır. Bu koşullarda dalga biçimi ters evrişim sonuç vermemektedir.



Şekil 13. Dalga biçimi ters evrişim uygulanmış iki dayk verisi (süzgeç boyu=15).

Fig. 13. Wave shaping deconvolution applied to two dike data (filter length=15).



Şekil 14. Gürültülü iki daykın özilişkisi.

Fig. 14. Autocorrelation of two dikes which contaminated by noise.

### Önkestirimli Ters Evrişim Uygulamaları

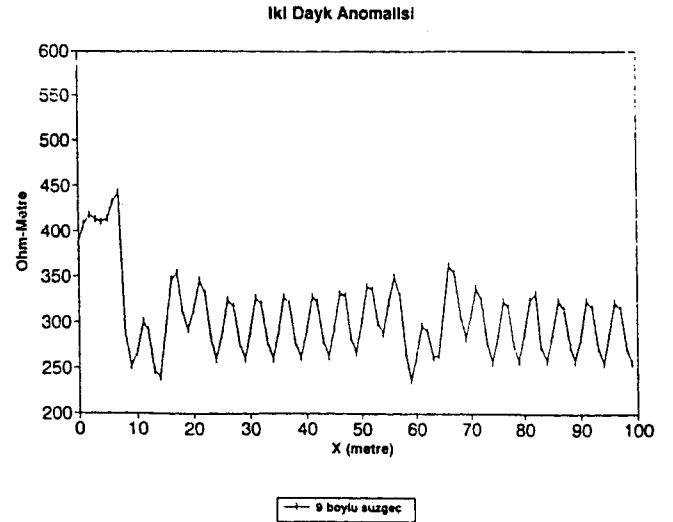
Çalışmanın bu aşamasında dalga biçimi ters evrişimindeki birbirini izleyen (dayklar arası mesafede 50 m) iki dayk anomalisi temel alınarak 50 birim genlikli sinüs gürültüsü eklenmiştir. Uygulamada, kestirilmiş özilişki uzunluğu (N) ve kestirim uzaklığının (L) seçimi önemlidir. Bu iki parametrenin nasıl seçilebileceği yöntemler bölümünde ayrıntılı olarak verilmiştir. (Şekil 4). Gürültü içeren anomalinin özilişki fonksiyonu incelendiğinde (Şekil 14); N ve L'nin seçilmediği görülmektedir. Bu olgu gözönüne alınarak rastgele seçilen N ve L kullanılarak yapılan ön kestirimli ters evrişim uygulamalarında başarı beklenmemelidir (Şekil 15).

### SONUÇLAR

Bu çalışmada ters evrişim (dekonvolüsyon) işleminin elektrik prospeksiyon yönteminde kaydırma ölçümlerine uygulanabilirliği denenerek aşağıdaki sonuçlara ulaşılmıştır.

1- Süzgeç boyu arttıkça beklenen çıktı ile istenen çıktı arasındaki hata enerjisi en küçüğe yaklaşmaktadır.

2- Anolaninin içerdiği gürültü seviyesi azaldıkça, ayrırlılığın başarısı daha kısa boylu süzgeçlerde görülmektedir. Bu ayrırlılık süzgeç boyu ile doğru orantılı olarak artmaktadır. Gürültü seviyesi arttıkça sözkonusu ayrırlılığa daha uzun süzgeç boylarında ulaşılmaktadır.



Şekil 15. Öncekestirmeli ters evrişim uygulanmış iki dayk verisi (süzgeç boyu=9)

Fig. 15. Predictive deconvolution applied to two dike data (filter length=9).

3- İdeal koşullarda en küçük hata enerjisi ve en iyi ayrırlılık veri boyuna eşit süzgeç kullanılarak sağlanır. Ancak süzgeç boyunun seçiminde; veri adedine bağlı olarak bilgisayar işlem zamanı ve kapasitesi ile evrişimden kaynaklanacak sorunlar gözönünde bulundurulmalıdır.,



4- Önkestirimli ters evrişimde ise gürültülü sinyalin (gürültülü dayk anomalisi) özilişki fonksiyonundan periyodik bileşenlerin ayırt edilmemesi, bu yöntemi bu tür verilerde başarısız kılmaktadır.

#### KAYNAKLAR

- Çelik, İ., 1982, Wiener enküçük Kareler Süzgeci ile Gravite ve Manyetik Verilerin Sıkıştırılması, Bitirme Tezi, İ.T.Ü. Maden Fakültesi, Jeofizik Müh. Bölümü, İstanbul. I
- Dimri, V., 1992, Deconvolution and Inverse Theory, Application to Geophysical Problems, Elsevier Co.
- Levinson, M., 1949, The Wiener RMS (Root Mean Square) error criterion in filter desing and prediction, Geophysical Prospecting, 15, 261-278
- Özdemir, H., 1980, Veri işlem II Ders Notları, İTÜ. Yayınları İstanbul.
- Peacock, K.L. and Trietel, S., 1969, Predictivite deconvolution theory and practice, Geophysics, 34, 155-169
- Robinson, E.A. and Treitel, S., 1967, Principles of digital Wiener filtering, Geophysical Prospecting 15, 311-333.
- Robinson, E.A., 1967 a, Statistical Communication and Detection with Special Reference to Digital Data Processing of Radar and Seismic Signals. Charles Griffin, London.
- Robinson, E.A., 1967 b, Multichannel Time Series Analysis with Digital Computer Programs, Holden-Day.
- Say, N., 1990, Yapay Gravite Verilerine Wiener En Küçük Kareler Biçim Süzgecinin Uygulanması, Lisans Tezi, D.E.Ü. Müh. Fak., Jeofizik Müh. Bölümü, İzmir.
- Telford, W.M., Geldart, L.P., Sheriff, R.E., Keys, D.A., 1987, Applied Geophysics, Cambridge University Press.
- Trietel, S., and Lines, L.R., 1982, Linear inverse theory and deconvolution, Geophysics, 47, 1153-1165.
- Tsokas, N. and Papazachos, B.C., 1991, Two-Dimensional inversion filters in magnetic prospecting, Geophysics, 56, 1004-1013
- Wiggins, R.A., and Robinson, E.A., 1965, Recurse Solutions to the Multichannel Filtering Problem, Jour. Of Geoph. Research, 70, 1885-1891.